

Poisson 잡음 하에서의 지수 감소 함수 인자 추정시의 Cramer–Rao bound

On the Cramer–Rao Bound for Estimating Parameters of Exponentially Decaying Function under Poisson Noise

석 지 영* · 김 정 태†
 (Ji-Yeong Seok · Jeong-Tae Kim)

Abstract - We computed Cramer–Rao bound for estimating amplitude and decay parameters of exponentially decaying function under Poisson noise. Since Cramer–Rao bound is the lowest variance bound for any unbiased estimator, the computed Cramer–Rao bound can be used for evaluating the performance of estimators under Poisson noise. In addition, we show that the performance of maximum-likelihood estimator is close to the Cramer–Rao bound by simulations.

Key Words : Cramer–Rao bound, Maximum-likelihood estimator, Poisson noise

1. 서 론

측정된 실험치로부터 지수적으로 감소하는 함수의 크기 및 시정수를 추정하는 문제는 공학 응용에서 빈번하게 발생하는 문제이다 [1]. 예를 들면, 형광현미경에서의 지수적으로 감소하는 형광 밝기 변화의 시정수는 분자들의 특성 연구에 매우 유용한 정보를 제공한다 [2]. 따라서 지수 감소 함수의 정확한 시정수 추정은 매우 중요한 문제이다. 시정수 추정기의 설계시 Cramer–Rao (C-R) bound는 설계된 추정기의 분산 (variance)의 한계를 결정짓는 기준으로 성능 평가시 주요한 평가 대상으로 사용될 수 있다 [3]. 선행 연구에서는 주로 가우시안 (Gaussian) 잡음 하에서의 지수 감소함수의 인자 추정에 관한 연구들이 수행되었고 가우시안 잡음 하에서의 C-R bound에 관한 연구도 수행되었다 [1][3]. 그러나, 형광 감소와 같이 광자 (photon)의 도달량에 의해서 실험치가 측정되는 추정 문제에 있어서는 측정치를 가우시안 확률 변수로 모델링하는 것보다는 포와송 (Poisson) 확률 변수 (random variable)로 모델링하는 것이 보다 정확하다. 도달하는 광자의 수가 충분한 경우에는 포와송 확률 변수의 확률 밀도 함수가 가우시안 함수로 근사화가 되므로 [4] 가우시안 잡음 하에서의 분석결과를 사용하여도 무방하나, 광자의 수가 충분하지 않은 경우에는 포와송 모델을 사용한 C-R bound를 성능 평가의 지표로 삼아야 한다. 본 저자들이 선행 연구를 조사한 결과로는 포와송 잡음 하에서의 C-R bound에 대해서는 연구가 수행된 적이 없는 상태이다. 또한, 포와송 확률 변수에 기반한 추정기를 설계하여야

함에도 불구하고, 가우시안 확률 변수에 기반한 추정기를 설계하는 경우들이 많이 있고 [5] 이 경우 가우시안 C-R bound를 사용하면 잘못된 성능 평가를 하게 된다. 응용 분야의 연구자들에게 있어서 포와송 확률 변수 기반의 연구가 잘 알려져 있지 않아서 물리적으로 보다 직관적인 가우시안 확률 변수를 사용하는 것으로 추측된다.

본 논문에서는 포와송 확률 변수를 기반으로 하여 지수 감소함수의 크기와 시정수를 동시 추정하는 경우의 C-R bound를 이론적으로 구하여 C-R bound를 결정하는 변수들을 파악한다. 또한, 포와송 모델하에서의 Maximum-likelihood (ML) 추정기가 이론적으로 구한 C-R bound와 거의 유사함을 시뮬레이션을 통해서 검증하여 ML 추정기의 유용성을 확인한다.

2. Cramer–Rao bound

포와송 잡음 하에서 시간 $t = t_i$, $i = 0, \dots, N-1$ 에서 얻어지는 지수 감소 함수의 관측치는 지수 감소 함수를 평균으로 가지는 포와송 확률 변수 함수로 다음 식 (1)과 같이 모델링 된다.

$$y(t_i) = \text{Poisson}\{Ae^{-t/\tau}\}, i = 0, 1, \dots, N-1 \quad (1)$$

이 때, A 는 지수 함수의 최대값을 나타내고, τ 는 지수 감소 함수의 시정수를 나타낸다. 식 (1)로 모델링 되는 관측치 $Y = [y(t_0), y(t_1), \dots, y(t_{N-1})]$ 를 사용하여 크기와 시정수 두 가지를 동시에 추정하는 추정기의 평균값이 추정하고자 하는 크기 및 시정수와 일치하는 경우, 즉 unbiased 추정기일 경우 그 추정기의 분산은 C-R bound 보다 항상 크거나 같게 된다 [5]. 따라서 인수벡터 $\theta = [\theta_1, \theta_2, \dots, \theta_N]$ 추정 시, 추정기 $\hat{\theta} = [\hat{\theta}_1, \hat{\theta}_2, \dots, \hat{\theta}_N]$ 의 분산은 다음 식 (2)와 같이 C-R bound 보다 항상 크게 된다 [6].

$$\text{Var}[\hat{\theta}_i - E[\theta_i]] \geq J^i \quad (2)$$

* Dept. of Electronics Engineering, Ewha womans University, Korea

† Corresponding Author : Dept. of Electronics Engineering, Ewha womans University, Korea.

E-mail : jtkim@ewha.ac.kr

Received : October 10, 2012; Accepted : December 4, 2012

여기서 J^{ii} 는 다음 식 (3) 과 같이 정의되는 Fisher information 행렬 F 의 역행렬의 (i,i) 번째 원소를 말한다 [6].

$$F_{ij} = E\left[\frac{\partial \log p(Y;\theta)}{\partial \theta_i} \frac{\partial \log p(Y;\theta)}{\partial \theta_j}\right] = -E\left[\frac{\partial^2 \log p(Y;\theta)}{\partial \theta_i \partial \theta_j}\right] \quad (3)$$

여기서, F_{ij} 는 행렬 F 의 (i,j) 번째 원소이고, $\log p(Y;\theta)$ 는 포와송 확률 변수에 기반한 log-likelihood 함수로서, 다음 식 (4) 와 같이 정의 된다.

$$\log p(Y;\theta) = \sum_{i=0}^{N-1} -(Ae^{-t_i/\tau}) + y(t_i) \log(Ae^{-t_i/\tau}) - \log(y(t_i))! \quad (4)$$

지수 감소 함수의 크기 A 와 시정수 τ 를 추정하는 경우 $\theta=[\pi, A]$ 이므로 식 (4) 의 log-likelihood 함수를 τ 와 A 에 대해서 미분하고 식 (3) 에 따라 기대 값을 구해서 Fisher information 행렬을 구한다. 이 과정에서 다음 식 (5), (6) 의 포와송 확률 변수 함수의 성질은 수식을 간략화하는데 유용하게 사용된다. 즉 포와송 랜덤 변수는 평균과 분산이 동일하고 관측치의 평균은 관측 순간에서의 지수 감소 함수의 값과 동일하다.

$$E[y(t_i)] = Ae^{-t_i/\tau} \quad (5)$$

$$E[(y(t_i) - Ae^{-t_i/\tau})^2] = Ae^{-t_i/\tau} \quad (6)$$

상기와 같은 과정을 거쳐 연산된 Fisher information 행렬의 원소들은 다음과 같이 계산된다.

$$-E\left[\frac{\partial^2 \log p(Y;\theta)}{\partial \tau^2}\right] = \sum_{i=0}^{N-1} \frac{t_i^2}{\tau^4} (Ae^{-t_i/\tau}) \quad (7)$$

$$-E\left[\frac{\partial^2 \log p(Y;\theta)}{\partial \tau \partial A}\right] = \sum_{i=0}^{N-1} \frac{t_i}{\tau^2} (e^{-t_i/\tau}) \quad (8)$$

$$-E\left[\frac{\partial^2 \log p(Y;\theta)}{\partial A^2}\right] = \sum_{i=0}^{N-1} \frac{1}{A} (e^{-t_i/\tau}) \quad (9)$$

식 (7), (8), (9) 을 이용하여 Fisher information 행렬을 구할 수 있고, 그 행렬의 역행렬을 구하면 C-R bound 는 다음 식 (1) 과 같이 Fisher information 행렬의 역행렬 J 에 대해서 결정된다.

$$J = \frac{1}{D} \begin{bmatrix} \sum_{i=0}^{N-1} \frac{1}{A} (e^{-t_i/\tau}) & \sum_{i=0}^{N-1} \frac{t_i}{\tau^2} (e^{-t_i/\tau}) \\ \sum_{i=0}^{N-1} \frac{t_i}{\tau^2} (e^{-t_i/\tau}) & \sum_{i=0}^{N-1} \frac{t_i^2}{\tau^4} (Ae^{-t_i/\tau}) \end{bmatrix} \quad (10)$$

이때, 행렬식 D 는 다음과 같이 정의 된다.

$$D = \sum_{i=0}^{N-1} (e^{-t_i/\tau}) \sum_{i=0}^{N-1} \frac{t_i^2}{\tau^4} (e^{-t_i/\tau}) - \sum_{i=0}^{N-1} \frac{t_i}{\tau^2} (e^{-t_i/\tau}) \sum_{i=0}^{N-1} \frac{t_i}{\tau^2} (e^{-t_i/\tau}) \quad (11)$$

행렬식 D 는 Cauchy-Schwarz 부등식에 대해서 항상 양

수값을 가지고, 다음 식 (12), (13) 과 같이 C-R bound 를 가지게 된다.

$$E[(\hat{\tau} - \tau)^2] \geq \frac{1}{D} \sum_{i=0}^{N-1} \frac{1}{A} e^{-t_i/\tau} \quad (12)$$

$$E[(\hat{A} - A)^2] \geq \frac{1}{D} \sum_{i=0}^{N-1} \frac{t_i^2}{\tau^4} (Ae^{-t_i/\tau}) \quad (13)$$

식 (12), (13) 으로부터 몇 가지 흥미있는 사실을 발견할 수 있다. 식 (12)로부터, 지수함수의 크기 A 가 증가할수록, 즉 신호대 잡음비가 증가할수록 시정수 τ 추정의 분산이 줄어든다는 사실을 알 수 있다. 즉, 통계적으로 보다 정확히 시정수를 추정할 수 있다. 그러나 A 가 증가할수록, 크기 A 추정의 분산은 증가하는 것을 알 수 있다. 이는 포와송 확률 변수의 분산이 크기가 증가하면 동시에 증가하는데서 기인한다고 해석할 수 있다. 또한, 크기 A 를 보다 정확히 추정하기 위해서는 시정수 τ 가 증가하여야 한다. 즉 지수 감소 함수가 천천히 감소하면 상대적으로 보다 정확히 크기를 추정할 수 있게 된다.

3. Maximum-likelihood (ML) 추정기

확률 변수가 아닌 인수를 추정하기 위해서 널리 사용되는 ML 추정기는 측정된 관측치의 개수가 무한대로 증가함에 따라서 점근적으로 (asymptotically) unbiased 되어 있고 점근적으로 efficient 한 추정기임이 알려져 있어 널리 사용된다 [5]. 실제로는 유한한 개수의 관측치만 사용하므로 efficient 한 추정기라는 보장은 없으나, 만약 efficient 한 추정기가 존재하면 ML 추정기임이 증명되어 있다 [5]. 본 논문에서는, 포와송 잡음하에서 시간 $t = t_i, i=0, \dots, N-1$ 에서 얻어지는 지수 감소 함수의 크기와 시정수를 추정하기 위해서 다음 식 (14) 와 같이 포와송 likelihood 함수를 최대화시키는 ML 추정기를 구현하여 그 성능을 C-R bound 와 비교한다.

$$(\hat{\tau}, \hat{A}) = \arg \max_{\tau, A} \sum_{i=0}^{N-1} -(Ae^{-t_i/\tau}) + y(t_i) \log(Ae^{-t_i/\tau}) \quad (14)$$

ML 추정기를 통하여 추정한 시정수의 통계적 특성이 unbiased 이고 그 분산이 C-R bound 를 만족하면, unbiased 추정기중 가장 좋은 분산 특성을 가지고 있음이 검증되므로 ML 추정기를 사용하여 추정하는 것이 좋은 선택이 될 것이다.

4. 시뮬레이션

포와송 잡음하에서의 시정수와 크기를 추정하는 추정 문제에 있어서 ML 추정기의 평균값과 분산 값을 구하고 식 (12), (13) 의 C-R bound 와 비교하는 시뮬레이션을 수행하였다. 시뮬레이션 데이터는 원신호 $Ae^{-t/\tau}$ 를 평균으로 가지는 포아송 확률 변수를 이용하여 생성하였다. 원신호의 시정수로 3s 를 가지도록 만들었고, 크기는 1 부터 20 까지 변화시켜면서 생성해주었다. 생성된 관측 데이터를 ML 추정기를 이용하여 시정수 추정 시뮬레이션을 500번 반복하여 평

균과 분산값을 구하였다. 또한 이때 정해진 크기와 시정수에 관한 C-R bound 를 식 (12), (13) 을 사용하여 계산하였다.

그림 1은 원신호의 크기를 1 부터 20 까지 변화시킬 때 각 신호에 대해 ML 추정기를 이용해 추정한 시정수의 평균과 원신호의 시정수를 나타낸다. 그림으로부터, ML 추정기를 통해 추정한 시정수의 평균이 실제 원신호의 시정수인 3 과 거의 같게 나타나는 것을 볼 수 있다. 그림 2는 원신호의 크기를 1 부터 20 까지 변화시킬 때 각 신호에 따라서 구한 ML 추정기를 이용해 추정한 크기의 평균을 나타낸다. 변화시킨 원신호 각각의 크기와 그때의 측정 데이터에 대해서 ML 추정기를 통해 추정한 크기의 평균을 비교해보면 평균값과 크기값이 거의 같음을 볼 수 있다.

ML 추정기를 통해 추정한 시정수, 크기의 평균이 원신호의 시정수, 크기와 비교했을 때 거의 동일하게 추정함을 알 수 있고, 또한 ML 추정기로 추정한 결과에 바이어스가 일어나지 않음을 알 수 있다. 따라서, ML 추정기가 unbiased

추정기임을 시뮬레이션을 통하여 검증하였고 이 경우 각 추정기의 분산값은 C-R bound 보다는 크게 된다.

그림 3은 원신호의 크기를 1 부터 20 까지 변화시킬 때 각 신호에 따라서 구한 C-R bound 와 ML 추정기를 이용해 추정한 시정수의 분산을 나타낸다. ML 추정기를 통해 추정한 시정수의 분산이 C-R bound 의 성능에 매우 접근하고 있는 것을 볼 수 있다. 그림 4는 원신호의 크기를 1 부터 20 까지 변화시킬 때 각 신호에 따라서 구한 C-R bound 와 ML 추정기를 이용해 추정한 크기의 분산을 나타낸다. 1 부터 20 까지의 크기에 대해서 ML 추정기를 통해 추정한 크기의 분산이 C-R bound 와 유사한 것을 볼 수 있다. 또한 C-R bound 는 크기가 증가함에 따라 증가함을 볼 수 있다. 이론적으로 구한 C-R bound 와 ML 추정기로 추정한 시정수, 크기의 분산을 비교한 결과가 매우 유사한 것을 봄으로써 ML 추정기의 유용성을 확인할 수 있다.

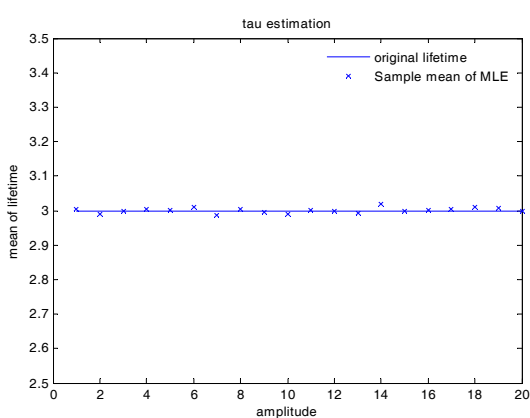


그림 1 원신호의 시정수와 ML 추정기를 이용해 추정한 시정수의 평균

Fig. 1 Decay constant of original signal and mean of estimated of decay constant using ML estimator

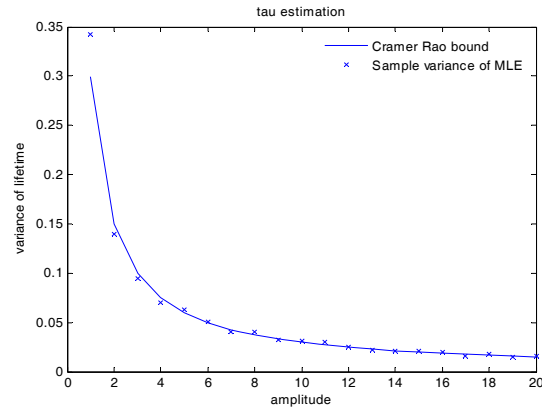


그림 3 ML 추정기를 이용해 추정한 시정수의 분산과 C-R bound

Fig. 3 Variance of estimated of decay constant using ML estimator and C-R bound

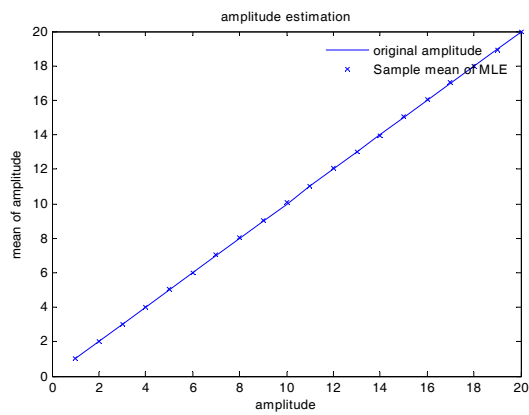


그림 2 원신호의 크기와 ML 추정기를 이용해 추정한 크기의 평균

Fig. 2 Amplitude of original signal and mean of estimated amplitude using ML estimator

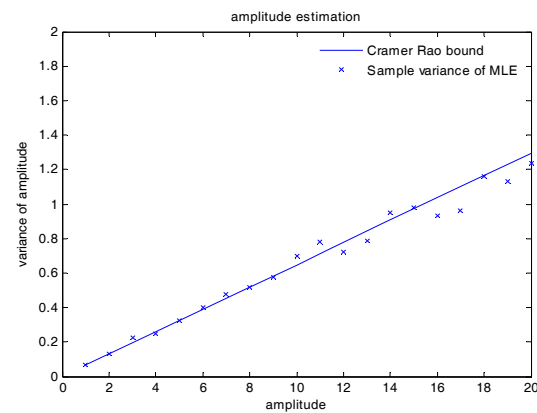


그림 4 ML 추정기를 이용해 추정한 크기의 분산과 C-R bound

Fig. 4 Variance of estimated of amplitude using ML estimator and C-R bound

4. 결 론

본 논문에서는 포와송 확률 변수를 기반으로 하는 지수 감소함수의 크기와 시정수를 동시 추정하는 경우에 대해 C-R bound 를 이론적으로 구하고, C-R bound 를 구성하는 변수들을 분석하였다. 또한 포와송 잡음을 기반으로 하는 ML 추정기가 unbiased 추정기이고 그 분산이 C-R bound 를 만족함을 시뮬레이션으로 확인하여 ML 추정기의 성능을 검증하였다. 본 논문에서 이론적으로 구한 C-R bound 의 값은 지수 함수 감소 추정기의 성능을 평가하는 기준으로 유용하게 사용될 수 있을 것이다.

감사의 글

본 연구는 한국과학재단 도약연구과제 (KOSEF R17-2008-041-01001-0)로 수행된 연구결과입니다.

References

- [1] S. L. Tantum and L. M. Collins, "A parameter transformation and Cramer-Rao bounds for estimating decay rates from exponential signals," in IGARSS '02. 2002 IEEE International, vol. 4, pp.2568-2571, (2002).
- [2] J. R. Lakowicz, *Principles of Fluorescence Spectroscopy* (Kluwer Academic/Plenum Publishers, 1999), 2nd ed.
- [3] A. U. Jibia, M-J. E. Salami, O. O. Khalifa and F.A.M. Elfaki, "Cramer-Rao Lower Bound for Parameter Estimation of Multiexponential Signals," in IWSSIP 2009, pp.1 - 5 (2009).
- [4] A. Papoulis, *Probability, Random variables, and Stochastic Processes* (McGraw-Hill, Inc, 2002), 4th ed.
- [5] P. Hall, and B. Selinger, "Better estimates of exponential decay parameters", J. Phys. Chem. vol. 85, No. 20, pp.2941-2946 (1981).
- [6] H. Van Trees, *Detection, Estimation, and Modulation Theory*, no. v. in Detection, Estimation, and Modulation Theory (John Wiley & Sons, 2001).

저 자 소 개



석지영 (石知英)

2012년 이화여자대학교 전자공학과 졸업.
2012년 3월-현재 동 대학원 석사과정 재학중.

Tel : +82-2-3277-4236
E-mail : jyyoung89@ewhain.net



김정태 (金廷泰)

1989년 서울대학교 제어계측공학과 졸업.
1991년 동 대학원 석사과정 졸업. 1991년-1998년 삼성전자 디지털미디어연구소 책임연구원. 2004년 미시간대학교 전기공학과 졸업 (Ph.D), 2004년-현재 이화여자대학교 전자공학과 부교수

Tel : +82-2-3277-4084
Fax : +82-2-3277-3494
E-mail : jtkim@ewha.ac.kr